

И. Ю. Хома

**О ПРЕДСТАВЛЕНИИ РЕШЕНИЙ УРАВНЕНИЙ РАВНОВЕСИЯ
ФУНКЦИОНАЛЬНО НЕОДНОРОДНЫХ ТРАНСВЕРСАЛЬНО-
ИЗОТРОПНЫХ ПЛАСТИН**

*Институт механики им. С.П.Тимошенко НАНУ,
ул. Нестерова 3, 03057, Киев, Украина; e-mail: reolog@inmech.kiev.ua*

Abstract. By using an expansion method of unknown functions in a Fourier series of Legendre polynomials the elastic equilibrium equations for an inhomogeneous along the thickness transversally isotropic plate are derived. A method of a representation of the general solution is suggested. A problem on a stress concentration around a circular hole in an unbounded plate under tangential forces is considered.

Key words: transversally isotropic plate, inhomogeneous, circular hole, stress concentration.

Введение.

Решению задач о напряженном состоянии неоднородных оболочек и пластин посвящено много публикаций [7, 14, 15, 24], где используются методы прикладной теории, построенной при помощи упрощающих гипотез [5, 22, 23], или обобщенной теории, содержащей регулярный процесс замены решения трехмерной задачи последовательностью решений двумерных задач [3, 6, 21]. Для приведения трехмерных уравнений анизотропной среды к двумерным в [9] используется асимптотический метод. В рамках трехмерной теории в [16, 17] найдены решения уравнений равновесия неоднородных трансверсально-изотропных упругих тел. Задачи о концентрации напряжений около отверстий в однородных и неоднородных телах изложены в [4, 8, 13, 20].

В данной работе методом разложения искоемых функций в ряды Фурье по полиномам Лежандра координаты толщины излагается вывод уравнений равновесия трансверсально-изотропных пластин, модули упругости которых изменяются по толщине по линейному закону. Приводится метод представления общего аналитического решения данных уравнений и находится решение задачи о концентрации напряжений около кругового отверстия в неограниченной пластине, находящейся под действием постоянных касательных усилий, приложенных на бесконечности.

§1. Постановка задачи. Исходные соотношения.

Рассмотрим неоднородную трансверсально-изотропную пластину постоянной толщины $2h$ ($h = \text{const}$), упругие характеристики которой предполагаются непрерывными функциями поперечной координаты $\zeta = x_3 / h$ ($-1 \leq \zeta \leq 1$). При этом допускается, что коэффициенты Пуассона ν и ν' постоянны, а модули упругости \hat{E} , \hat{E}' и сдвига \hat{G} , \hat{G}' соответственно в плоскости изотропии и нормальной к ней плоскости представляют собой линейные функции координаты ζ , т.е.

$$\hat{E} = E p(\zeta); \hat{E}' = E' p(\zeta); \hat{G} = \hat{E}/2(1 + \nu); \hat{G}' = G' p'(\zeta),$$

где $p(\zeta) = 1 + \varepsilon \zeta$, $p'(\zeta) = 1 + \delta \zeta$, E , E' , G' и ε , δ – константы.

На основании формул связи между параметрами \widehat{c}_{ij} ($i, j = 1, 2, 3$), \widehat{c}_{44} , \widehat{c}_{66} и техническими характеристиками [2] получаем соотношения

$$\widehat{c}_{ij} = c_{ij}(1 + \varepsilon\zeta); \quad \widehat{c}_{66} = c_{66}(1 + \varepsilon\zeta); \quad \widehat{c}_{44} = c_{44}(1 + \delta\zeta), \quad (1.1)$$

в которых c_{ij} , c_{44} , c_{66} – постоянные вида

$$c_{11} = \frac{(1 - \nu v'^2)E}{\Delta}; \quad c_{12} = \frac{(\nu + \nu v'^2)E}{\Delta}; \quad c_{13} = \frac{\nu'(1 + \nu)E}{\Delta}; \quad c_{33} = \frac{(1 - \nu^2)E}{e\Delta};$$

$$c_{66} = E/2(1 + \nu) = G; \quad c_{44} = G'; \quad e = E/E'; \quad \Delta = (1 + \nu)(1 - \nu - 2\nu'^2 e).$$

Уравнение состояния для трансверсально-изотропного тела записываются таким образом [11, 19]:

$$\begin{aligned} \sigma_{11} &= \widehat{c}_{11}e_{11} + \widehat{c}_{12}e_{22} + \widehat{c}_{13}e_{33}; \quad \sigma_{12} = 2\widehat{c}_{66}e_{12}; \quad \sigma_{22} = \widehat{c}_{12}e_{11} + \widehat{c}_{11}e_{22} + \widehat{c}_{13}e_{33}; \\ \sigma_{13} &= 2\widehat{c}_{44}e_{13}; \quad \sigma_{33} = \widehat{c}_{13}(e_{11} + e_{22}) + \widehat{c}_{33}e_{33}; \quad \sigma_{23} = 2\widehat{c}_{44}e_{23}, \end{aligned} \quad (1.2)$$

где e_{ij} – компоненты деформаций, выражающиеся через перемещения u_j формулами

$$2e_{ij} = \partial_i u_j + \partial_j u_i \quad (\partial_j = \partial / \partial x_j). \quad (1.3)$$

Представляем, следуя [1, 10, 12], компоненты вектора перемещений $u_j(x_1, x_2, x_3)$ и тензора напряжений $\sigma_{ij}(x_1, x_2, x_3)$ в виде конечного ряда Фурье по полиномам Лежандра $P_k(\zeta)$ координаты толщины

$$\{u_j(x_1, x_2, x_3), \sigma_{ij}(x_1, x_2, x_3)\} = \sum_{k=0}^N \{u_j^{(k)}(x), h^{-1}\sigma_{ij}^{(k)}(x)\} P_k(\zeta), \quad (1.4)$$

где $x = (x_1, x_2)$ – точка на срединной плоскости пластины, совпадающей с плоскостью изотропии; $u_j^{(k)}(x)$, $\sigma_{ij}^{(k)}(x)$ – коэффициенты разложений, именуемые ниже моментами (номер момента соответствует порядку полинома Лежандра); N – натуральное число, которое будем считать четным, т. е. $N = 2n$ ($n = 0, 1, \dots < \infty$).

§2. Уравнения равновесия.

В предположении, что лицевые граничные плоскости $x_3 = h$, $x_3 = -h$ свободны от напряжений, упругое равновесие пластины описывается системой уравнений [19]

$$\partial_\alpha \sigma_{\alpha\beta}^{(0)} = 0 \quad (\beta = 1, 2); \quad \partial_\alpha \sigma_{\alpha 3}^{(0)} = 0; \quad (2.1)$$

$$\partial_\alpha \sigma_{\alpha j}^{(k)} - (2k + 1)h^{-1} \sum_{s=0}^{[K]} \sigma_{3j}^{(k-2s-1)} = 0 \quad (j = 1, 2, 3; k = 1, 2, \dots, N), \quad (2.2)$$

где $K = (k - 1) / 2$; символ $[K]$ обозначает целую часть числа K ; по индексу α подразумевается суммирование от 1 до 2.

Принимая во внимание рекуррентные соотношения для полиномов Лежандра [1]

$$(2k + 1)\zeta P_{k-1}(\zeta) = k P_k(\zeta) + (k + 1)P_{k+1}(\zeta),$$

из равенств (1.2) с учетом формул (1.1), (1.3), (1.4) получаем соотношения, связывающие моменты напряжений $\sigma_{ij}^{(k)}$ и деформаций $e_{ij}^{(k)}$, т. е.

$$\sigma_{11}^{(k)} = h(c_{11}e_{11}^{(k)} + c_{12}e_{22}^{(k)} + c_{13}e_{33}^{(k)}); \quad \sigma_{12}^{(k)} = 2c_{66}h e_{12}^{(k)}; \quad \sigma_{22}^{(k)} = h(c_{12}e_{11}^{(k)} + c_{11}e_{22}^{(k)} + c_{13}e_{33}^{(k)});$$

$$\sigma_{13}^{(k)} = 2c_{44}h e_{13}^{(k)}; \quad \sigma_{33}^{(k)} = h(c_{13}\theta^{(k)} + c_{33}e_{33}^{(k)}); \quad \sigma_{23}^{(k)} = 2c_{44}h e_{23}^{(k)}, \quad (2.3)$$

где

$$\left[2e_{\alpha\beta}^{(k)} = \partial_\alpha u_\beta^{(k)} + \partial_\beta u_\alpha^{(k)} \quad (\alpha, \beta = 1, 2); \quad 2e_{\alpha 3}^{(k)} = \partial_\alpha u_3^{(k)} + h^{-1}u_\alpha^{\prime(k)}; \right. \\ \left. e_{33}^{(k)} = h^{-1}u_3^{\prime(k)}; \quad \theta^{(k)} = e_{11}^{(k)} + e_{22}^{(k)} = \partial_1 u_1^{(k)} + \partial_2 u_2^{(k)} \right]; \quad (2.4)$$

$$\left\{ \underline{u}_\alpha^{(k)} = u_\alpha^{(k)} + \varepsilon \left(\frac{k}{2k-1} u_\alpha^{(k-1)} + \frac{k+1}{2k+3} u_\alpha^{(k+1)} \right); \quad \underline{u}_3^{(k)} = u_3^{(k)} + \delta \left(\frac{k}{2k-1} u_3^{(k-1)} + \frac{k+1}{2k+3} u_3^{(k+1)} \right); \right. \\ \left. u_\alpha^{\prime(2k)} = 2k\delta u_\alpha^{(2k)} + (4k+1) \sum_{s=k+1}^n \left(u_\alpha^{(2s-1)} + \delta u_\alpha^{(2s)} \right); \right. \quad (2.5)$$

$$\left. u_\alpha^{\prime(2k-1)} = -2k\delta u_\alpha^{(2k-1)} + (4k-1) \sum_{s=k}^n \left(u_\alpha^{(2s)} + \delta u_\alpha^{(2s-1)} \right) \right\}.$$

Моменты перемещений $u_3^{(2k)}$ и $u_3^{\prime(2k-1)}$ следуют из $u_\alpha^{(2k)}$ и $u_\alpha^{\prime(2k-1)}$ путем замены индекса α на 3 и параметра δ на ε .

Равенства (2.3) – (2.5) совместно с (2.1), (2.2) образуют замкнутую систему уравнений для определения неизвестных функций. Полагая в данной системе параметры ε и δ равными нулю, будем иметь уравнения упругого равновесия однородной трансверсально-изотропной пластины. По структуре она распадается на две независимые группы уравнений, описывающие, соответственно, симметричное и кососимметричное (по отношению к срединной плоскости) деформированное состояние. Наличие параметров ε и δ связывает эти уравнения.

§3. Общее аналитическое решение.

Изложим метод представления общего аналитического решения системы уравнений (2.1) – (2.3). Очевидно, первые два равенства (2.1) будут выполнены, если ввести функцию напряжений $F(x_1, x_2)$ по формулам

$$\sigma_{11}^{(0)} = \partial_2^2 F(x_1, x_2); \quad \sigma_{12}^{(0)} = -\partial_1 \partial_2 F(x_1, x_2); \quad \sigma_{22}^{(0)} = \partial_1^2 F(x_1, x_2). \quad (3.1)$$

Согласно равенствам (2.4), (2.5) соотношения (2.3) при $k=0$ принимают вид

$$\sigma_{11}^{(0)} = h \left[c_{11} \left(\varepsilon_{11}^{(0)} + \varepsilon_{11}^{(1)} \varepsilon / 3 \right) + c_{12} \left(\varepsilon_{22}^{(0)} + \varepsilon_{22}^{(1)} \varepsilon / 3 \right) + c_{13} h^{-1} \sum_{s=1}^n \left(u_3^{(2s-1)} + \varepsilon u_3^{(2s)} \right) \right]; \\ \sigma_{22}^{(0)} = h \left[c_{12} \left(\varepsilon_{11}^{(0)} + \varepsilon_{11}^{(1)} \varepsilon / 3 \right) + c_{11} \left(\varepsilon_{22}^{(0)} + \varepsilon_{22}^{(1)} \varepsilon / 3 \right) + c_{13} h^{-1} \sum_{s=1}^n \left(u_3^{(2s-1)} + \varepsilon u_3^{(2s)} \right) \right]; \quad (3.2)$$

$$\sigma_{12}^{(0)} = 2c_{66}h \left(\varepsilon_{12}^{(0)} + \varepsilon_{12}^{(1)} \varepsilon / 3 \right); \quad \sigma_{33}^{(0)} = h \left[c_{13} \left(e^{(0)} + e^{(1)} \varepsilon / 3 \right) + c_{33} h^{-1} \sum_{s=1}^n \left(u_3^{(2s-1)} + \varepsilon u_3^{(2s)} \right) \right];$$

$$\sigma_{\alpha 3}^{(0)} = 2c_{44}h \left[\partial_\alpha \left(u_3^{(0)} + u_3^{(1)} \varepsilon / 3 \right) + h^{-1} \sum_{s=1}^n \left(u_\alpha^{(2s-1)} + \delta u_\alpha^{(2s)} \right) \right] \quad (\alpha = 1, 2)$$

$$\left[2\varepsilon_{\alpha\beta}^{(k)} = \partial_\alpha u_\beta^{(k)} + \partial_\beta u_\alpha^{(k)} \quad (\alpha, \beta = 1, 2); \quad e^{(k)} = \varepsilon_{11}^{(k)} + \varepsilon_{22}^{(k)} = \partial_1 u_1^{(k)} + \partial_2 u_2^{(k)} \right]. \quad (3.3)$$

Учитывая (3.1), определяем из первых трех равенств (3.2) моменты деформаций:

$$\begin{aligned}\varepsilon_{11}^{(0)} &= -\frac{\varepsilon}{3}\varepsilon_{11}^{(1)} + \frac{1}{4c_*c_{66}^2h}(-c_{12}\partial_1^2F + c_{11}\partial_2^2F) - \frac{c_{13}}{2c_*c_{66}h}\sum_{s=1}^n(u_3^{(2s-1)} + \varepsilon u_3^{(2s)}); \\ \varepsilon_{22}^{(0)} &= -\frac{\varepsilon}{3}\varepsilon_{22}^{(1)} + \frac{1}{4c_*c_{66}^2h}(c_{11}\partial_1^2F - c_{12}\partial_2^2F) - \frac{c_{13}}{2c_*c_{66}h}\sum_{s=1}^n(u_3^{(2s-1)} + \varepsilon u_3^{(2s)}); \\ \varepsilon_{12}^{(0)} &= -\frac{\varepsilon}{3}\varepsilon_{12}^{(1)} - \frac{1}{2c_{66}h}\partial_1\partial_2F.\end{aligned}\quad (3.4)$$

Отсюда следует, что

$$e^{(0)} = -\frac{\varepsilon}{3}e^{(1)} + \frac{1}{2c_*c_{66}h}\Delta F - \frac{c_{13}}{c_*c_{66}h}\sum_{s=1}^n(u_3^{(2s-1)} + \varepsilon u_3^{(2s)}). \quad (3.5)$$

Согласно (3.5) напряжение $\sigma_{33}^{(0)}$ примет вид

$$\sigma_{33}^{(0)} = \frac{c_{13}}{2c_*c_{66}}\Delta F + \frac{c_1c_{11}c_{33}}{c_*c_{66}}\sum_{s=1}^n(u_3^{(2s-1)} + \varepsilon u_3^{(2s)}). \quad (3.6)$$

Здесь Δ – двумерный оператор Лапласа; $c_* = 1 + c_{12}/c_{66}$; $c_1 = c - c_{66}/c_{11}$; $c = 1 - c_{13}^2/c_{11}c_{33}$.

Если внести значения моментов (3.4) в условие совместности деформаций $\partial_1^2\varepsilon_{22}^{(0)} - 2\partial_1\partial_2\varepsilon_{12}^{(0)} + \partial_2^2\varepsilon_{11}^{(0)} = 0$, то получим уравнение, из которого определим

$$\Delta F = \frac{2c_{13}c_{66}}{c_{11}}\sum_{s=1}^n(u_3^{(2s-1)} + \varepsilon u_3^{(2s)}) + \frac{c_*c_{66}h}{c_1c_{11}}u, \quad (3.7)$$

где u – произвольная гармоническая функция. Исключая ΔF из равенств (3.5) и (3.6), получаем равенство

$$e^{(0)} = -\frac{\varepsilon}{3}e^{(1)} - \frac{c_{13}}{c_{11}h}\sum_{s=1}^n(u_3^{(2s-1)} + \varepsilon u_3^{(2s)}) + \frac{c}{2c_1c_{11}}u; \quad (3.8)$$

$$\sigma_{33}^{(0)} = -\frac{cc_{13}h}{2c_1c_{11}}u + cc_{33}\sum_{s=1}^n(u_3^{(2s-1)} + \varepsilon u_3^{(2s)}).$$

Уравнения (2.1) с учетом формул (3.2) сводятся к следующим уравнениям:

$$\begin{aligned}c_{66}\Delta(u_\alpha^{(0)} + u_\alpha^{(1)}\varepsilon/3) + (c_{12} + c_{66})\partial_\alpha(e^{(0)} + e^{(1)}\varepsilon/3) + c_{13}h^{-1}\sum_{s=1}^n\partial_\alpha(u_3^{(2s-1)} + \varepsilon u_3^{(2s)}) &= 0 \quad (\alpha = 1, 2); \\ 3\Delta u_3^{(0)} &= -\delta\Delta u_3^{(1)} - 3h^{-1}\sum_{s=1}^n(e^{(2s-1)} + \delta e^{(2s)}).\end{aligned}\quad (3.9)$$

Продифференцируем первое ($\alpha = 1$) уравнение (3.9) по x_1 , а второе ($\alpha = 1$) – по x_2 и полученные равенства сложим. Учитывая при этом обозначение (3.3), получаем уравнение

$$\Delta\left(e^{(0)} + \frac{\varepsilon}{3}e^{(1)}\right) + \frac{c_{13}}{c_{11}h}\sum_{s=1}^n\Delta(u_3^{(2s-1)} + \varepsilon u_3^{(2s)}) = 0.$$

Отсюда, очевидно, следует равенство (3.8).

Если внести значения моментов (2.3) в равенства (2.2), то получим систему уравнений, соответственно, при четных значениях индекса $2k$ ($k = 1, 2, \dots, n$), т.е.

$$c_{66}\Delta u_\alpha^{(2k)} + (c_{12} + c_{66})\partial_\alpha \theta^{(2k)} + c'_{2k} h^{-1} \partial_\alpha u_3^{(2k)} + (4k+1)h^{-1} \left[-c_{44} \sum_{s=0}^k \partial_\alpha (u_3^{(2s-1)} + \delta u_3^{(2s)}) + \right. \\ \left. + c_{13} \sum_{s=k+1}^n \partial_\alpha (u_3^{(2s-1)} + \varepsilon u_3^{(2s)}) - c_{44} h^{-1} \sum_{s=1}^n (\beta_{2s}^{(k)} u_\alpha^{(2s)} + \delta \alpha_{2s-1}^{*(k)} u_\alpha^{(2s-1)}) \right] = 0 \quad (\alpha = 1, 2); \quad (3.10)$$

$$c_{44}\Delta u_3^{(2k)} + c'_{2k} h^{-1} e^{(2k)} + (4k+1)h^{-1} \left[-c_{13} \sum_{s=0}^k (e^{(2s-1)} + \varepsilon e^{(2s)}) + c_{44} \sum_{s=k+1}^n (e^{(2s-1)} + \delta e^{(2s)}) - \right. \\ \left. - c_{33} h^{-1} \sum_{s=1}^n (\beta_{2s}^{(k)} u_3^{(2s)} + \varepsilon \alpha_{2s-1}^{*(k)} u_3^{(2s-1)}) \right] = 0 \quad (3.11)$$

и при нечетных его значениях $2k-1$ ($k = 1, 2, \dots, n$):

$$c_{66}\Delta u_\alpha^{(2k-1)} + (c_{12} + c_{66})\partial_\alpha \theta^{(2k-1)} - c'_{2k-1} h^{-1} \partial_\alpha u_3^{(2k-1)} + (4k-1)h^{-1} \left[c_{44} \sum_{s=0}^{k-1} \partial_\alpha (u_3^{(2s)} + \delta u_3^{(2s-1)}) + \right. \\ \left. + c_{13} \sum_{s=k}^n \partial_\alpha (u_3^{(2s)} + \varepsilon u_3^{(2s-1)}) - c_{44} h^{-1} \sum_{s=1}^n (\alpha_{2s-1}^{(k)} u_\alpha^{(2s-1)} + \delta \beta_{2s}^{*(k)} u_\alpha^{(2s)}) \right] = 0 \quad (\alpha = 1, 2); \quad (3.12)$$

$$c_{44}\Delta u_3^{(2k-1)} - c'_{2k-1} h^{-1} e^{(2k-1)} + (4k-1)h^{-1} \left[-c_{13} \sum_{s=0}^{k-1} (e^{(2s)} + \varepsilon e^{(2s-1)}) + \right. \\ \left. + c_{44} \sum_{s=k}^n (e^{(2s)} + \delta e^{(2s-1)}) - c_{33} h^{-1} \sum_{s=1}^n (\alpha_{2s-1}^{(k)} u_3^{(2s-1)} + \varepsilon \beta_{2s}^{*(k)} u_3^{(2s)}) \right] = 0. \quad (3.13)$$

Здесь приняты обозначения:

$$c'_m = \begin{cases} 2k\varepsilon c_{13} + (2k+1)\delta c_{44}, & m = 2k; \\ 2k\varepsilon c_{13} + (2k-1)\delta c_{44}, & m = 2k-1; \end{cases} \quad c''_m = \begin{cases} (2k+1)\varepsilon c_{13} + 2k\delta c_{44}, & m = 2k; \\ (2k-1)\varepsilon c_{13} + 2k\delta c_{44}, & m = 2k-1; \end{cases}$$

$\alpha_{2s-1}^{(k)}$, $\beta_{2s}^{(k)}$ и $\alpha_{2s-1}^{*(k)}$, $\beta_{2s}^{*(k)}$ – абсолютные константы вида

$$\alpha_{2s-1}^{(k)} = \begin{cases} s(2s-1), & 1 \leq s \leq k, \\ k(2k-1), & k \leq s \leq n; \end{cases} \quad \beta_{2s}^{(k)} = \begin{cases} s(2s+1), & 1 \leq s \leq k, \\ k(2k+1), & k \leq s \leq n; \end{cases}$$

$$\alpha_{2s-1}^{*(k)} = \begin{cases} s(2s-1), & 1 \leq s \leq k, \\ k(2k+1), & k < s \leq n; \end{cases} \quad \beta_{2s}^{*(k)} = \begin{cases} s(2s+1), & 1 \leq s < k, \\ k(2k-1), & k \leq s \leq n. \end{cases}$$

Определим аналитическое решение системы уравнений (3.10) – (3.13). По аналогии с (3.9) продифференцируем первое ($\alpha = 1$) уравнение (3.10) по x_1 , а второе ($\alpha = 2$) – по x_2 и полученные равенства сложим. В результате имеем уравнение

$$c_{11}\Delta \theta^{(2k)} + c'_{2k} h^{-1} \Delta u_3^{(2k)} + (4k+1)h^{-1} \left[-c_{44} \sum_{s=0}^k \Delta (u_3^{(2s-1)} + \delta u_3^{(2s)}) + \right. \\ \left. + c_{13} \sum_{s=k+1}^n \Delta (u_3^{(2s-1)} + \varepsilon u_3^{(2s)}) - c_{44} h^{-1} \sum_{s=1}^n (\beta_{2s}^{(k)} e^{(2s)} + \delta \alpha_{2s-1}^{*(k)} e^{(2s-1)}) \right] = 0. \quad (3.14)$$

После выполнения аналогичных преобразований над уравнениями (3.12) получаем равенство

$$\begin{aligned} c_{11}\Delta\theta^{(2k-1)} - c'_{2k-1}h^{-1}\Delta u_3^{(2k-1)} + (4k-1)h^{-1}\left[-c_{44}\sum_{s=0}^{k-1}\Delta(u_3^{(2s)} + \delta u_3^{(2s-1)}) + \right. \\ \left. + c_{13}\sum_{s=k}^n\Delta(u_3^{(2s)} + \varepsilon u_3^{(2s-1)}) - c_{44}h^{-1}\sum_{s=1}^n(\alpha_{2s-1}^{(k)}e^{(2s-1)} + \delta\beta_{2s}^{*(k)}e^{(2s)})\right] = 0. \end{aligned} \quad (3.15)$$

Из (3.15) при $n=1$ с учетом значений (3.8), (3.9) имеем уравнение

$$\Delta\left[e^{(1)} + \frac{2\varepsilon}{5\alpha'_1}e^{(2)} + \frac{3c_{13}}{c_{11}h}\sum_{s=1}^n u_3^{(2s)} + \frac{2\varepsilon c_{13}}{\alpha'_1 c_{11}h}\sum_{s=2}^n u_3^{(2s-1)}\right] = 0,$$

из которого определим

$$e^{(1)} = -\frac{2\varepsilon}{5\alpha'_1}e^{(2)} - \frac{3c_{13}}{c_{11}h}\sum_{s=1}^n u_3^{(2s)} - \frac{2\varepsilon c_{13}}{\alpha'_1 c_{11}h}\sum_{s=2}^n u_3^{(2s-1)} - \frac{ch}{c_{66}}\tilde{u},$$

где \tilde{u} – произвольная гармоническая функция; $\alpha'_1 = 1 - \varepsilon^2 / 3$.

Равенства (3.14), (3.15) совместно с (3.11), (3.13) образуют систему уравнений порядка $2(4n-1)$ относительно моментов $u_3^{(1)}$, $e^{(k)}$, $u_3^{(k)}$ ($k=2, 3, \dots, 2n$). Для интегрирования этой системы поступим следующим образом. Введем в рассмотрение функции u_l ($l=1, 2, \dots, 4n-1$) согласно формулам

$$\begin{aligned} c_{66}u_3^{(1)} = -\chi_1^*hu - \varepsilon v_2^*h^2\tilde{u} + u_1; \quad c_{66}he^{(2)} = u_2; \\ c_{66}u_3^{(2)} = v_2^*h^2\tilde{u} + u_3; \quad c_{66}he^{(k)} = u_{2k-2}; \quad c_{66}u_3^{(k)} = u_{2k-1} \quad (k=3, 4, \dots, 2n) \end{aligned} \quad (3.16)$$

и выразим через данные функции моменты деформаций $e^{(0)}$, $e^{(1)}$ и перемещений $\Delta u_3^{(0)}$. Следовательно получим

$$\begin{aligned} c_{66}e^{(0)} = \frac{c_{66}}{2c_{11}}u + \frac{\varepsilon h}{3}\tilde{u} - \frac{c_{13}}{c_{11}h}u_1 + \frac{2\varepsilon^2}{15\alpha'_1 h}u_2 - \frac{c_{13}(1-\varepsilon^2)}{\alpha'_1 c_{11}h}\sum_{s=2}^n u_{4s-3}; \\ c_{66}e^{(1)} = -h\tilde{u} - \frac{2\varepsilon}{5\alpha'_1 h}u_2 - \frac{3c_{13}}{c_{11}h}\sum_{s=1}^n u_{4s-1} - \frac{2\varepsilon c_{13}}{\alpha'_1 c_{11}h}\sum_{s=2}^n u_{4s-3}; \\ c_{66}\Delta u_3^{(0)} = \tilde{u} - \frac{\delta}{3}\left(\Delta u_1 + \frac{3}{h^2}u_2\right) + \frac{2\varepsilon}{5\alpha'_1 h^2}u_2 + \frac{3c_{13}}{c_{11}h^2}\sum_{s=1}^n u_{4s-1} + \\ + \frac{2\varepsilon c_{13}}{\alpha'_1 c_{11}h^2}\sum_{s=2}^n u_{4s-3} - \frac{1}{h^2}\sum_{s=2}^n (u_{4s-4} + \delta u_{4s-2}), \end{aligned} \quad (3.17)$$

где $\chi_1^* = 2c_{13}c_{66}/c_{11}c_{33}$, $v_2^* = c_{13}/3c_{33}$.

Если внести (3.16) и (3.17) в уравнения (3.11), (3.13) – (3.15), то получим относительно функций u_l однородную систему уравнений, которую в стандартной форме запишем таким образом:

$$\sum_{l=1}^{4n-1} (a_{kl} - b_{kl}h^2\Delta)u_l = 0 \quad (k=1, 2, \dots, 4n-1), \quad (3.18)$$

где a_{kl}, b_{kl} – константы, явные выражения которых нетрудно выписать.

Рассмотрим характеристическое уравнение $\det \|a_{kl} - kb_{kl}\| = 0$, предполагая, что оно имеет простые и отличные от нуля корни k_m . Тогда решение системы (3.18) можно представить в виде [18]

$$u_k = \sum_{m=1}^{4n-1} G_m^{(k)} V_m, \quad (3.19)$$

где V_m – метагармонические функции, удовлетворяющие равенствам

$$\Delta V_m - k_m h^{-2} V_m = 0,$$

$G_m^{(k)}$ – константы, которые определяются алгебраическими дополнениями элементов какой-нибудь строки определителя $|a_{kl} - k_m b_{kl}|_{(4n-1) \times (4n-1)}$.

Согласно (3.19), моменты перемещений $u_3^{(k)}$ из (3.16), примут вид

$$\begin{aligned} c_{66} u_3^{(1)} &= -\chi_1^* h u - \varepsilon v_2^* h^2 \tilde{u} + \sum_{m=1}^{4n-1} c_m^{(1)} V_m; \quad c_{66} u_3^{(2)} = v_2^* h^2 \tilde{u} + \sum_{m=1}^{4n-1} c_m^{(2)} V_m; \\ c_{66} u_3^{(k)} &= \sum_{m=1}^{4n-1} c_m^{(k)} V_m \quad (k = 3, 4, \dots, 2n), \end{aligned} \quad (3.20)$$

а моменты деформаций определяем такими формулами:

$$c_{66} e^{(0)} = \chi_e u + \frac{\varepsilon h}{3} \tilde{u} + \frac{1}{h} \sum_{m=1}^{4n-1} \tilde{c}_m^{(0)} V_m; \quad c_{66} e^{(1)} = -h \tilde{u} + \frac{1}{h} \sum_{m=1}^{4n-1} \tilde{c}_m^{(1)} V_m; \quad c_{66} e^{(k)} = \frac{1}{h} \sum_{m=1}^{4n-1} \tilde{c}_m^{(k)} V_m, \quad (3.21)$$

($\chi_e = c_{66} / 2c_{11}$, $c_m^{(k)}$, $\tilde{c}_m^{(k)}$ – постоянные, определяемые значениями констант $G_m^{(2k)}$).

С учетом выражений (3.20), (3.21) определяем из второго равенства (3.9) перемещение $u_3^{(0)}$, т.е.

$$c_{66} u_3^{(0)} = \tilde{U} + \sum_{m=1}^{4n-1} c_m^{(0)} V_m \quad \left(c_m^{(0)} = -\tilde{c}_m^{(1)} \delta / 3 - \sum_{s=1}^n k_m^{-1} \left[\tilde{c}_m^{(2s-1)} + \delta \tilde{c}_m^{(2s)} \right] \right), \quad (3.22)$$

а из уравнений (3.7) – функцию напряжений F :

$$F = hU + h^2 \sum_{m=1}^{4n-1} \tilde{a}_m^{(0)} V_m \quad \left(c_{11} \tilde{a}_m^{(0)} = 2c_{13} \sum_{s=1}^n k_m^{-1} \left[c_m^{(2s-1)} + \varepsilon c_m^{(2s)} \right] \right). \quad (3.23)$$

Здесь U и \tilde{U} – бигармонические функции ($\Delta U = u$, $\Delta \tilde{U} = \tilde{u}$).

Принимая во внимание обозначения (3.3), представим соотношения (3.21) в виде

$$c_{66} (\partial_1 u_1^{(0)} + \partial_2 u_2^{(0)}) = \chi_e \Delta U + \varepsilon h \Delta \tilde{U} / 3 + h \sum_{m=1}^{4n-1} a_m^{(0)} \Delta V_m;$$

$$c_{66} (\partial_1 u_1^{(1)} + \partial_2 u_2^{(1)}) = -h \Delta \tilde{U} + h \sum_{m=1}^{4n-1} a_m^{(1)} \Delta V_m;$$

$$c_{66} (\partial_1 u_1^{(k)} + \partial_2 u_2^{(k)}) = h \sum_{m=1}^{4n-1} a_m^{(k)} \Delta V_m; \quad a_m^{(k)} = k_m^{-1} \tilde{c}_m^{(k)} \quad (k = 2, 3, \dots, 2n).$$

Отсюда определим моменты перемещений, т.е.

$$c_{66} u_\alpha^{(0)} = \chi_e \partial_\alpha U + \varepsilon h \partial_\alpha \tilde{U} / 3 + h \sum_{m=1}^{4n-1} a_m^{(0)} \partial_\alpha V_m + (-1)^\alpha h \partial_\beta Y_0;$$

$$c_{66}u_{\alpha}^{(1)} = -h\partial_{\alpha}\tilde{U} + h\sum_{m=1}^{4n-1}a_m^{(1)}\partial_{\alpha}V_m + (-1)^{\alpha}h\partial_{\beta}Y_1 \quad (\alpha, \beta = 1, 2; \alpha \neq \beta); \quad (3.24)$$

$$c_{66}u_{\alpha}^{(k)} = h\sum_{m=1}^{4n-1}a_m^{(k)}\partial_{\alpha}V_m + (-1)^{\alpha}h\partial_{\beta}Y_k \quad (k = 2, 3, \dots, 2n).$$

Здесь Y_k – произвольные достаточно гладкие вещественные функции. Их необходимо выбрать такими, чтобы выполнялись равенства (3.9), (3.10) и (3.12). Следовательно, если внести в (3.9) значения моментов (3.20) и (3.21), (3.24), то получим уравнение

$$(-1)^{\alpha}\partial_{\beta}\Delta(Y_0 + \varepsilon Y_1/3) + \gamma\sum_{m=1}^{4n-1}O_m^{(0)}\partial_{\alpha}V_m + c(2c_1h)^{-1}\partial_{\alpha}u = 0, \quad (3.25)$$

где $\gamma = c_{11}/c_{66}h^2$, $O_m^{(0)}$ – постоянные вида $O_m^{(0)} = \tilde{c}_m^{(0)} + \frac{\varepsilon}{3}\tilde{c}_m^{(1)} + \frac{c_{13}}{c_{11}}\sum_{s=1}^n(c_m^{(2s-1)} + \varepsilon c_m^{(2s)})$. Не трудно видеть, учитывая (3.8), что $O_m^{(0)} = 0 \quad \forall m \in [1, 4n-1]$.

Для интегрирования уравнения (3.25) воспользуемся сопряженной гармонической функцией v , связанной с функцией u равенствами Коши – Римана

$$\partial_1 u = \partial_2 v, \quad \partial_2 u = -\partial_1 v. \quad (3.26)$$

Тогда из (3.25) получаем (с точностью до константы) уравнение вида

$$\Delta Y_0 = -\frac{\varepsilon}{3}\Delta Y_1 + \frac{c}{2c_1h}v. \quad (3.27)$$

Аналогичным способом из уравнений (3.10), (3.12) после подстановки в них выражений (3.20), (3.21), (3.24) и некоторых преобразований с учетом формул (3.26), (3.27) получим систему уравнений

$$\Delta Y_{-1} - \frac{3c_{44}}{c_{66}h^2}\sum_{s=1}^n(Y_{2s-1} + \delta Y_{2s}) = \frac{3c_{44}}{c_{66}h^2}(\delta\kappa_2^*hv + b_1h^2\tilde{v}); \quad (3.28)$$

$$\Delta Y_{-2k-1} - \frac{(4k-1)c_{44}}{c_{66}h^2}\sum_{s=1}^n(\alpha_{2s-1}^{(k)}Y_{2s-1} + \delta\beta_{2s}^{*(k)}Y_{2s}) = \frac{(4k-1)c_{44}}{c_{66}h^2}(3\delta\kappa_2^*hv + b_{2k-1}h^2\tilde{v}) \quad (k = 2, 3, \dots, 2n);$$

$$\Delta Y_{-2k} - \frac{(4k+1)c_{44}}{c_{66}h^2}\sum_{s=1}^n(\beta_{2s}^{(k)}Y_{2s} + \delta\alpha_{2s-1}^{*(k)}Y_{2s-1}) = \frac{(4k+1)c_{44}}{c_{66}h^2}(3\kappa_2^*hv + \delta b_{2k}h^2\tilde{v}) \quad (k = 1, 2, \dots, 2n),$$

в которой \tilde{v} – сопряженная с \tilde{u} функция;

$$\{Y_{-1} = \alpha_1 Y_1 + \frac{2\varepsilon}{5}Y_2; \quad Y_{-k} = Y_k + \varepsilon\left(\frac{k}{2k-1}Y_{k-1} + \frac{k+1}{2k+3}Y_{k+1}\right) \quad (k = 2, 3, \dots, 2n);$$

$$b_1 = -\frac{c_{11}}{3c_{44}}\left(c\alpha_1' - \frac{\varepsilon\delta c_{13}c_{44}}{3c_{11}c_{33}}\right); \quad b_2 = -\frac{c_{11}}{3c_{44}}\left[\frac{2c\varepsilon}{5} - \frac{c_{13}c_{44}}{c_{11}c_{33}}\left(\varepsilon - \frac{2\delta}{5}\right)\right];$$

$$b_{2k-1} = -\frac{c_{13}(1-\varepsilon\delta)}{3c_{33}}; \quad b_{2k} = \frac{c_{13}(\varepsilon-\delta)}{3c_{33}}, \quad k \geq 2; \quad \kappa_2^* = \kappa_1^*/3\}.$$

Далее представим решение уравнений (3.28) в виде

$$Y_1 = y_1 - \nu_1 h^2 \tilde{v}; \quad Y_2 = y_2 - \kappa_2^* h \nu - \nu_2 h^2 \tilde{v}; \quad Y_k = y_k - \nu_k h^2 \tilde{v} \quad (k = 3, 4, \dots, 2n), \quad (3.29)$$

где функции y_k – общее решение однородной системы, которую в стандартной форме предложим таким образом:

$$\sum_{l=1}^{2n} (p_{kl} - q_{kl} h^2 \Delta) y_l = 0 \quad (k = 1, 2, \dots, 2n).$$

Постоянные v_k в (3.29) определяем из алгебраической системы уравнений

$$\sum_{l=1}^n (\alpha_{2l-1}^{(k)} v_{2l-1} + \delta \beta_{2l}^{*(k)} v_{2l-1}) = b_{2k-1}; \quad \sum_{l=1}^n (\delta \alpha_{2l-1}^{*(k)} v_{2l-1} + \beta_{2l}^{(k)} v_{2l}) = b_{2k} \quad (k = 1, 2, \dots, n).$$

В предположении, что характеристическое уравнение $\det \|p_{kl} - \lambda q_{kl}\| = 0$ имеет простые (не равные нулю) корни λ_s ($s = 1, 2, \dots, 2n$), решение системы (3.29) принимает вид

$$y_k = \sum_{s=1}^{2n} b_s^{(k)} \omega_s, \quad (3.30)$$

где ω_s – метагармонические функции, обеспечивающие выполнение равенств $\Delta \omega_s - \lambda_s h^{-2} \omega_s = 0$; постоянные $b_s^{(k)}$ определяются алгебраическими дополнениями элементов какой-нибудь строки определителя $|p_{kl} - \lambda q_{kl}|_{2n \times 2n}$.

Учитывая формулы (3.29), (3.30) и равенства Коши – Римана (3.26), получим из (3.24) выражения для моментов вектора $u_\alpha^{(k)}$, т.е.

$$c_{66} u_\alpha^{(1)} = -h \partial_\alpha (\tilde{U} + v_1^* h^2 \tilde{u}) + h \sum_{m=1}^{4n-1} a_m^{(1)} \partial_\alpha V_m + (-1)^\alpha h \sum_{s=1}^{2n} b_s^{(1)} \partial_\beta \omega_s;$$

$$c_{66} u_\alpha^{(2)} = \kappa_2^* h^2 \partial_\alpha u + v_2 h^3 \partial_\alpha \tilde{u} + h \sum_{m=1}^{4n-1} a_m^{(2)} \partial_\alpha V_m + (-1)^\alpha h \sum_{s=1}^{2n} b_s^{(2)} \partial_\beta \omega_s \quad (\alpha, \beta = 1, 2; \alpha \neq \beta); \quad (3.31)$$

$$c_{66} u_2^{(k)} = v_k h^3 \partial_2 \tilde{u} + h \sum_{m=1}^{4n-1} a_m^{(k)} \partial_2 V_m + (-1)^\alpha h \sum_{n=1}^{2n} b_n^{(k)} \partial_\beta \omega_s \quad (k = 3, 4, \dots, 2n).$$

Таким образом, значения функций (3.20) – (3.23) и (3.31) составляют общее решение системы уравнений (2.1) – (2.3).

§4. Напряженное состояние пластины с круговым отверстием.

На основании полученного решения рассмотрим задачу о напряженном состоянии около кругового отверстия в неограниченной пластине, находящейся под действием линейно изменяющихся по толщине касательных усилий

$$\sigma_{12}^\infty = \tau [1 - \lambda(1 - \zeta)], \quad \tau = \text{const}, \quad \lambda \in (0; 1]. \quad (4.1)$$

При этом воспользуемся комплексной формой записи данного решения. Полагая

$$U = 2 \operatorname{Re} [\bar{z} \varphi(z) + \psi_*(z)]; \quad \tilde{U} = 2 \operatorname{Re} [\bar{z} \varphi_*(z) + \chi_*(z)],$$

где $\varphi(z)$, $\psi_*(z)$, $\varphi_*(z)$, $\chi_*(z)$ – произвольные голоморфные функции переменной $z = x_1 + ix_2$, запишем моменты нормального перемещения (3.20), (3.22) в виде

$$c_{66} u_3^{(0)} = \bar{z} \varphi_*(z) + \overline{z \varphi_*(z)} + \chi_*(z) + \overline{\chi_*(z)} + \sum_{m=1}^{4n-1} c_m^{(0)} V_m;$$

$$c_{66} u_3^{(1)} = -4\kappa_1^* h [\varphi'(z) + \overline{\varphi'(z)}] + 4\varepsilon v_2^* h^2 [\varphi_*(z) + \overline{\varphi_*(z)}] + \sum_{m=1}^{4n-1} c_m^{(1)} V_m;$$

$$c_{66}u_3^{(2)} = 4\nu_2^*h^2 \left[\varphi'_*(z) + \overline{\varphi'_*(z)} \right] + \sum_{m=1}^{4n-1} c_m^{(2)}V_m ; \quad c_{66}u_3^{(k)} = \sum_{m=1}^{4n-1} c_m^{(k)}V_m \quad (k=3, 4, \dots, 2n),$$

а составляющие тангенциальных перемещений (3.31) представим таким образом:

$$c_{66}u_+^{(0)} = -2h \left[\varphi_*(z) + z\overline{\varphi'_*(z)} + 4\nu_1^*h^2\varphi''_*(z) + \overline{\chi(z)} \right] + 2h \sum_{m=1}^{4n-1} a_m^{(1)}\partial_{\bar{z}}V_m + 2ih \sum_{s=1}^{2n} b_s^{(1)}\partial_{\bar{z}}W_s ;$$

$$c_{66}u_+^{(2)} = 8\nu_2^*h^2\overline{\varphi''_*(z)} + 8\nu_2h^3\overline{\varphi''_*(z)} + 2h \sum_{m=1}^{4n-1} a_m^{(2)}\partial_{\bar{z}}V_m + 2ih \sum_{s=1}^{2n} b_s^{(2)}\partial_{\bar{z}}W_s ;$$

$$c_{66}u_+^{(k)} = 8\nu_k h^3\overline{\varphi''_*(z)} + 2h \sum_{m=1}^{4n-1} a_m^{(k)}\partial_{\bar{z}}V_m + 2ih \sum_{s=1}^{2n} b_s^{(k)}\partial_{\bar{z}}W_s \quad (k=3, 4, \dots, 2n).$$

Здесь $2\partial_{\bar{z}} = \partial/\partial x_1 + i\partial/\partial x_2$, $\psi(z) = \psi'_*(z)$, $\chi(z) = \chi'_*(z)$, $u_+^{(k)} = u_1^{(k)} + iu_2^{(k)}$. Соотношения упругости (2.3) в комплексной форме имеют вид

$$\sigma_{11}^{(0)} + \sigma_{22}^{(0)} = \Delta F ; \quad \sigma_{11}^{(0)} - \sigma_{22}^{(0)} + 2i\sigma_{12}^{(0)} = -4d_{\bar{z}}^2 F ;$$

$$\sigma_{11}^{(k)} + \sigma_{22}^{(k)} = 2h \left[(c_{12} + c_{66})\theta^{(k)} + 2c_{13}h^{-1}u_3^{(k)} \right] ; \quad (4.2)$$

$$\sigma_{11}^{(k)} - \sigma_{22}^{(k)} + 2i\sigma_{12}^{(k)} = 4c_{66}h\partial_{\bar{z}}u_+^{(k)} ; \quad \sigma_{13}^{(k)} + i\sigma_{23}^{(k)} = c_{44}h \left(2\partial_{\bar{z}}u_3^{(k)} + h^{-1}u_+^{(k)} \right).$$

Введем полярную систему координат r, θ и воспользуемся формулами преобразования

$$\sigma_{rr}^{(k)} - \sigma_{\theta\theta}^{(k)} - 2i\sigma_{r\theta}^{(k)} = e^{2i\theta} \left(\sigma_{11}^{(k)} - \sigma_{22}^{(k)} - 2i\sigma_{12}^{(k)} \right) ;$$

$$\sigma_{rr}^{(k)} + \sigma_{\theta\theta}^{(k)} = \sigma_{11}^{(k)} + \sigma_{22}^{(k)} ; \quad \sigma_{r3}^{(k)} + \sigma_{\theta 3}^{(k)} = e^{-i\theta} \left(\sigma_{13}^{(k)} + \sigma_{23}^{(k)} \right). \quad (4.3)$$

Отсюда получаем выражения для граничных условий. В частности, для свободного от внешних усилий кругового отверстия радиуса R имеют место равенства

$$\sigma_{rr}^{(k)}(r, \theta) + i\sigma_{r\theta}^{(k)}(r, \theta) \Big|_{r=R} = 0 ; \quad \sigma_{r3}^{(k)}(r, \theta) \Big|_{r=R} = 0 \quad (k=0, 1, \dots, 2n). \quad (4.4)$$

Примем голоморфные функции $\varphi(z)$, $\psi(z)$, $\varphi_*(z)$, $\chi(z)$ в виде

$$\varphi'(z) = \sum_{n=0}^{\infty} a_n z^{-n} ; \quad \psi'(z) = \sum_{n=0}^{\infty} b_n z^{-n} ; \quad \varphi'_*(z) = \sum_{n=0}^{\infty} \alpha_n z^{-n} ; \quad \chi'(z) = \sum_{n=0}^{\infty} \beta_n z^{-n},$$

где a_n , b_n , α_n , β_n ($n \geq 1$) – произвольные постоянные; a_0 , b_0 , α_0 , β_0 – константы, определяемые значениями напряжений на бесконечности [20]

$$a_0 + \bar{a}_0 = \left(\sigma_{11}^{(0)\infty} + \sigma_{22}^{(0)\infty} \right) / 4h ; \quad b_0 = \left(\sigma_{22}^{(0)\infty} - \sigma_{11}^{(0)\infty} + 2i\sigma_{12}^{(0)\infty} \right) / 4h ;$$

$$\alpha_0 + \bar{\alpha}_0 = -\frac{1}{8\alpha_1^* \nu^* h^2} \left(\sigma_{11}^{(1)\infty} + \sigma_{22}^{(1)\infty} - \varepsilon \left(\sigma_{11}^{(0)\infty} + \sigma_{22}^{(0)\infty} \right) \right) \quad (\nu^* = c_1 c_{11} / c_{66}) ;$$

$$\beta_0 = \frac{1}{8\alpha_1^* h^2} \left(\sigma_{22}^{(1)\infty} - \sigma_{11}^{(1)\infty} + 2i\sigma_{12}^{(1)\infty} - \varepsilon \left(\sigma_{22}^{(0)\infty} - \sigma_{11}^{(0)\infty} + 2i\sigma_{12}^{(0)\infty} \right) \right).$$

При заданных значениях касательных напряжений (4.1) отличными от нуля на бесконечности будут сдвигающие усилия $\sigma_{12}^{(0)\infty} = (1 - \lambda)\tau$ и скручивающий момент $\sigma_{12}^{(1)\infty} = \lambda\tau$. В этом случае имеем:

$$a_0 + \bar{a}_0 = 0; \quad b_0 = i(1-\lambda)/2h; \quad \alpha_0 + \bar{\alpha}_0 = 0; \quad \beta_0 = -i(\lambda - \varepsilon(1-\lambda)\tau)/4\alpha_1 h^2.$$

Вид метагармонических функций V_m зависит от значений корней характеристического уравнения, которые могут быть действительными и комплексными. Если, в частности, k_1 – действительный положительный корень, а k_2 и k_3 – комплексно-сопряженные, то

$$V_1 = \sum_{n=-\infty}^{\infty} B_n K_n(\rho x_1) e^{in\vartheta}; \quad V_2 = \sum_{n=-\infty}^{\infty} C_n H_n^{(1)}(\rho x_2) e^{in\vartheta}; \quad V_3 = \sum_{n=-\infty}^{\infty} D_n H_n^{(2)}(\rho x_3) e^{in\vartheta}.$$

Здесь $K_n(\rho x_1)$, $H_n^{(1)}(\rho x_2)$, $H_n^{(2)}(\rho x_3)$ – цилиндрические функции Бесселя, Ханкеля первого и второго рода, $\rho = r/R$, $x_1 = Rh^{-1}\sqrt{k_1}$, $x_2 = Rh^{-1}\sqrt{-k_2}$, $x_3 = \bar{x}_2$; B_n , C_n и D_n – произвольные постоянные. Аналогичный вид имеют метагармонические функции W_s .

Подставляя значения голоморфных и метагармонических функций в формулы (4.2), (4.3) и учитывая граничные условия (4.4), получим алгебраическую систему уравнений относительно неизвестных констант. Согласно данным функциям определяем компоненты напряженного состояния пластины. Так, в частности, окружные напряжения $\sigma_{\vartheta\vartheta}$ определяются формулой

$$\frac{1}{\tau} \sigma_{\vartheta\vartheta} = \left[-1 + \lambda(1-\zeta) + \sum_{k=0}^{2n} T_{\vartheta\vartheta}^{(k)}(\rho) P(\zeta) \right] \sin 2\vartheta,$$

в которой через $T_{\vartheta\vartheta}^{(k)}(\rho)$ обозначены выражения, содержащие цилиндрические функции [20].

§5. Числовые результаты и их анализ.

Изложим результаты числового анализа неоднородной по толщине трансверсально-изотропной пластины, ослабленной круговым отверстием. Контур отверстия – свободен от внешних усилий, а на бесконечности пластина находится под действием линейно изменяющихся по толщине касательных усилий. Численные результаты получены для пластины с упругими постоянными $\nu = 0,3$, $\nu' = 0,25$, $E/E' = 1,25$, $E/G' = 2,5$.

На рис. 1 и 2 представлены графики изменения коэффициента концентрации напряжений $\sigma_{\vartheta\vartheta}/\tau$ на контуре отверстия в точке $\rho = 1$, $\vartheta = \pi/4$ на срединной и граничных плоскостях пластины в зависимости от параметра δ , соответственно, при $\lambda = 0$ и $\lambda = 1$. При $\lambda = 0$ пластина находится под действием сдвигающих усилий на бесконечности, а при $\lambda = 1$ – скручивающих моментов.

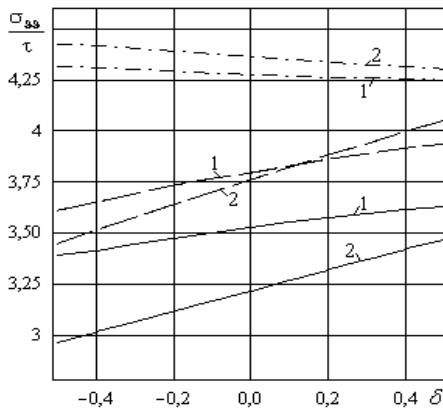


Рис. 1

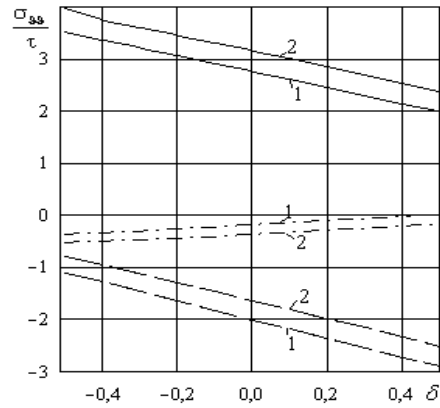


Рис. 2

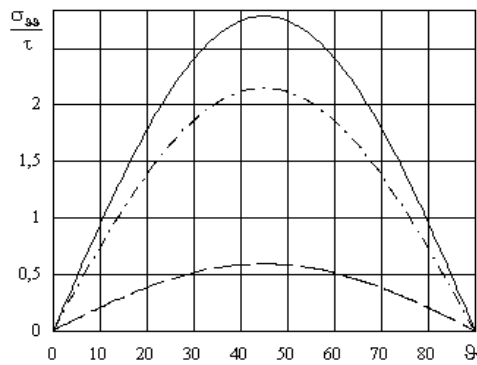


Рис. 3

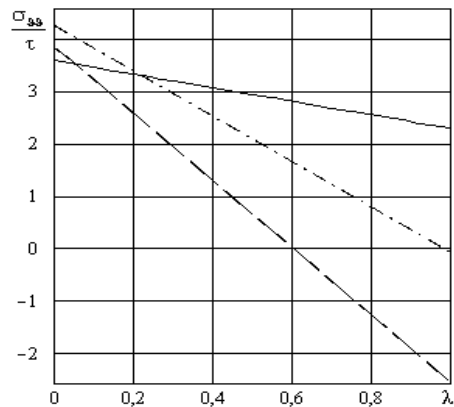


Рис. 4

Сплошные линии на рисунках характеризуют изменение напряжений на срединной плоскости пластины $\xi = 0$, пунктирные и штрих-пунктирные – на граничных плоскостях $\xi = 1$ и $\xi = -1$, соответственно. При этом цифра 1 соответствует графикам, построенным при $\varepsilon = 0,15$, а цифра 2 – при $\varepsilon = 0,3$.

Как видно из рис. 1, максимальных значений напряжения $\sigma_{\theta\theta}$ достигают на срединной плоскости пластины. Неравенство напряжений на лицевых граничных плоскостях обусловлено неоднородностью материала, характеризуемой параметром ε . При заданных на бесконечности скручивающих моментах (рис. 2) максимальных значений напряжения $\sigma_{\theta\theta}$ достигают на граничных плоскостях пластины; они противоположного знака и отличаются (в зависимости от величины параметра ε) по модулю.

Кривые на рис. 3 характеризуют изменение напряжения $\sigma_{\theta\theta}$ по контуру отверстия ($0 \leq \theta \leq \pi/2$) при значениях параметров $\varepsilon = 0,15$, $\delta = 0,3$, соответственно, на срединной (сплошная кривая) и граничных (сплошная для $\xi = 1$ и пунктирная – для $\xi = -1$ кривые) плоскостях пластины.

При тех же значениях ε и δ на рис. 4 представлены графики изменения $\sigma_{\theta\theta}$ от параметра λ , т.е. при постепенном переходе от сдвигающих усилий к скручивающим моментам. С увеличением λ напряжения $\sigma_{\theta\theta}$ на граничных плоскостях выравниваются, принимая противоположные по знаку значения (сплошная кривая – для $\xi = 1$ и пунктирная – для $\xi = -1$).

РЕЗЮМЕ. Методом розкладу невідомих функцій в ряди Фур'є за поліномами Лежандра побудовано рівняння пружної рівноваги неоднорідних по товщині трансверсально-ізотропних пластин. Викладено спосіб представлення загального аналітичного розв'язку даних рівнянь. Дано розв'язок задачі про концентрацію напружень біля кругового отвору в необмеженій пластині, що перебуває під дією дотичних зусиль.

1. Векуа И.Н. Теория тонких пологих оболочек переменной толщины // Тр. Тбилиск. матем. ин-та. – 1965. – 30. – С. 3 – 103.
2. Гузь А.Н., Немчи Ю.Н. Метод возмущения формы границы в механике сплошных сред. – К: Вища шк. – 1989. – 352 с.
3. Гуляев В.И., Баженов В.А., Лизунов П.П. Неклассическая теория оболочек и ее применение к решению инженерных задач. – Львів: Вища шк. – 1978. – 190 с.

4. Хома І. Напружений стан біля кругового отвору в неоднорідній по товщині трансверсально ізотропній пластині // Theoretical Foundations of Civil Engineering / Polish-Ukrainian Transactions. – 2011. – 19. – P. 105 – 112.
5. Хорощун Л.П., Козлов С.В., Іванов Ю.А., Кошевой И.К. Обобщенная теория неоднородных по толщине пластин и оболочек. – К.: Наук. думка. – 1988. – 152 с.
6. Чибиряков В.К., Смоляр А.М. Напряженно-деформированное состояние кусочно-неоднородных пластин // Соппротивление материалов и теория сооружений. – 1986. – № 48. – С. 48 – 53.
7. Aliage I.W., Reddy I.N. Nonlinear Thermoelastic Analysis of Functionally Graded Plates Using the Third-Order Deformation Theory // Int. J. Comput. Eng. Sci. – 2004. – 5, N 4. – P. 753 – 779.
8. Burniston E. E. On the Extension of an Infinite Elastic Plate Containing an Axisymmetric Hole // J. Appl. Mech. – 1972. – 39, N 2. P. 507 – 512.
9. Cheng Zhen-Qiang, Lim C.W., Kitipornchai S. Three-Dimensional Asymptotic Approach to Inhomogeneous and Laminated Piezoelectric Plates // Int. J. Solids and Struct. – 2000. – 37, N 33. – P. 3153 – 3175.
10. Cicala P. Sulla Teoria Elastica Della Plate Soltile // Giorn. Genio Civile. – 1959. – 97, N 4. – P. 238 – 256.
11. Ding H.J., Chen W.Q., Zhang L.C. Elasticity of Transversely Isotropic Materials. – Dordrecht: Springer. – 2006. – 435 p.
12. Fellers J.I., Soler A.I. Approximate Solution of the Finite Cylinder Problem Using Legendre Polynomials // AIAA J. – 1970. – 8, N 11. – P. 2037 – 2042.
13. Fofias E.S., Wang J.S. On the Three-dimensional Stress Fields around a Circular Hole in a Plate of Arbitrary Thickness // Comput. Mech. – 1990. – 6, N 5. – P. 379 – 391.
14. Grigorenko A.Ya., Efimova T.L., Korotkin Yu.A. Free Axisymmetric Vibrations of Cylindrical Shells Made of Functionally Graded Materials // Int. Appl. Mech. – 2015. – 51, N 6. – P. 654 – 663.
15. Huang Xiao-Lin, Shen Hui-Shen Nonlinear Vibration and Dynamic Response of Functionally Graded Plates in Thermal Environments // Int. J. Solids and Struct. – 2004. – 41, N 9 – 10. – P. 2403 – 2427.
16. Kashtalyan M. Three-Dimensional Elasticity Solution for Bending of Funtionally Graded Rectangular Plates // European J. of Mechanics, A/Solids. – 2004. – 23, N 5. – P. 853 – 864.
17. Kashtalyan M., Rushchitsky J.J. Revisiting Displacement Functions in Three-dimensional Elasticity of Inhomogeneous Media // Int. J. of Solids and Structures. – 2009. – 46. – P.3463 – 3470.
18. Khoma I.Yu. Representation of the Solution of the Equilibrium Equations for Non-Thin Transversely Isotropic Plates // J. of Mathem. Sci. – 2000. – 101, N 6. – P. 3577 – 3584.
19. Khoma I.Yu. Tension of a Non-thin Transversely Isotropic Plate with a Noncircular Cylindrical Cavity // Int. Appl. Mech. – 2006. – 42, N 11. – P. 1285 – 1292.
20. Khoma I.Yu., Dashko O.G. Stress State of a Nonthin Transversely Isotropic Plate with a Curved Hole // Int. Appl. Mech. – 2015. – 51, N 4. – P. 461 – 473.
21. Khoma I.Yu., Starygina O.A. Influence of Elastic Properties on the Stress State of a Nonthin Transversely Isotropic Plate with a Circular Hole // Int. Appl. Mech. – 2012. – 48, N 1. – P. 67 – 79.
22. Ma L.S., Wang T.J. Relationships between Axisymmetric Bending and Buckling Solution of FGM Circular Plates Based on Third-order Plate Theory and Classical Plate Theory // Int. J. of Solids and Struct. – 2004 – 41, N 1. – P. 85 – 101.
23. Nosier A., Follah F. Non-Linear Analysis of Functionally Graded Circular Plates under Asymmetric Transverse Loading // Int. J. Non-Linear Mech. – 2009. – 44, N 8. – P. 928 – 942.
24. Reddy J.N. Analysis of Functionally Graded Plates // Int. J. Numerical Methods in Engineering. – 2000. – 47. – P. 663 – 684.

Поступила 21.03.2016

Утверждена в печать 29.11.2016